

WO₃ Thin Film의 CMP 특성

고필주^{*}, 이우선^{*}, 최권우^{*}, 김태완^{*}, 서용진^{**}
 조선대학교 전기공학과^{*}, 대불대학교 전기전자공학과^{**}

Characteristic of WO₃ Thin Film CMP

Pi-Ju Ko^{*}, Woo-Sun Lee^{*}, Kwon-Woo Choi^{*}, Tae-Wan Kim^{*}, Yong-Jin Seo^{**}

Abstract - Chemical mechanical polishing (CMP) process has been widely used to planarize dielectric layers, which can be applied to the integrated circuits for sub-micron technology. Despite the increased use of CMP process, it is difficult to accomplish the global planarization of in the defect-free inter-level dielectrics (ILD). we investigated the performance of WO₃ CMP used silica slurry, ceria slurry, tungsten slurry. In this paper, the effects of addition oxidizer on the WO₃ CMP characteristics were investigated to obtain the higher removal rate and lower non-uniformity.

1. 서 론

WO₃ 박막은 센서로써 식품의 관리, 발효공정의 제어, 환경 계측 및 제어등의 응용분야뿐만 아니라 가스계측에 의한 물리, 화학 반응의 분석 등 기초연구에 이르기까지 넓은 응용범위를 가지고 있다.[1] WO₃ 박막은 광화학 반응에 의하여 산소(O₃)을 생성하여 스모그의 원인이 되고 있으며 산성비의 원인이 되는 NO_x 기체의 감지 물질로써 WO₃를 모물질로 하여 제작된 센서는 그 구조가 비정질 상태이거나 다결정 상태이거나 관계없이 NO_x 가스에 대한 우수한 감지 특성을 보이고 있다.

CMP(chemical mechanical polishing)공정은 deep 서브마이크론 집적회로의 다층배선구조를 실현하기 위해 IMD, ILD, PMD 층과 같은 절연막을 사용하고 있으며, W, Al, Cu와 같은 금속층을 평탄화[2, 3] 하는데 사용되고 있다. 또한 다양한 소자 제작 및 새로운 물질 등에도 광범위하게 응용되고 있다. [4] CMP는 웨이퍼와 연마패드 사이에 존재하는 연마제(abrasive)에 의한 기계적인 연마와 슬러리에 의한 화학적 에칭이 동시에 일어나는 공정이다. 이러한 CMP 공정에 영향을 미치는 주요한 변수로는 슬러리의 화학적·기계적인 역할, 패드의 재질 및 기계적 특성, 패드 컨디셔닝, 연마장비의 공정변수, 연마 후 세정 공정[5], 표면 결함 분석 방법 등을 들 수 있다. 따라서, 모든 공정과 장비에 대한 이해와 모든 변수에 대한 조절이 이루어져야 한다. 특히, 이러한 변수들의 최적화된 조합에 의한 CMP 공정 후에 연마제거율과 비균일도는 CMP 공정의 제어 및 품질과 관련하여 중요한 위치를 차지하고 있다. 본 논문에서는 WO₃박막의 CMP 연마특성을 연구하기 위해 W-Slurry에 산화제를 첨가하여 실험하였으며, 각각 슬러리와 산화제의 조성에 따른 연마 제거율과 비균일도를 측정하여 WO₃ CMP 특성과의 관계를 조사하여 CMP를 WO₃ 공정 제어

센서 응용가능성을 연구하고자 한다.

2. 본 론**2.1 실험**

본 실험에서는 각각의 슬러리와 산화제 첨가에 따른 연마율과 비균일도를 측정하기 위해 실험을 진행하였다.



그림 1. 입도 분석기(Accusizer 780)

Fig 1. Particle Size Analyzer(Accusizer780)

그림 1의 PSS(Particle Sizing System)인 Accusizer 780을 사용하여 텅스텐 슬러리와 산화제 첨가에 따른 입도 분석을 하였다.

표 1. 중착 공정 조건

Table 1. Deposition process parameter

Sputter parameters	Sputter condition
Flow rate	20sccm
Power	60W
Substrate temperature	28°C
Deposition time	60min
Substrate rotation	20rpm
Working Vacuum pressure	5×10 ⁻³ Torr
Target	WO ₃ (99.995%)
Target to substrate distance	6cm
Deposition thickness	8000Å

표 1은 4"인치 웨이퍼를 이용 WO₃ 박막을 중착시키는 공정 조건을 나타낸 표이다. Flow rate는 20sccm, power 60W, 중착시간 60분, 진공은 10⁻³Torr로 하였으며 20rpm으로 회전 하였다.

표 2. 슬러리 목록

Table 2. Slurry a List

No	Slurry composition
1	W slurry(MSW-2000A) + Oxidizer(MSW-2000B) (1 : 2)
2	W slurry(MSW-2000A) + Oxidizer(MSW-2000B) (1 : 3)
3	W slurry(MSW-2000A) + Oxidizer(MSW-2000B) (1 : 4)
4	W slurry(MSW-2000A) + Oxidizer(MSW-2000B) (1 : 5)

본 실험에 사용된 슬러리는 표 2과 같이 텅스텐 슬러리에 산화제를 각각 1:2, 1:3, 1:4, 1:5로 첨가한 슬러리를 사용하여 실험을 하였다.

표 3. CMP장비의 공정조건

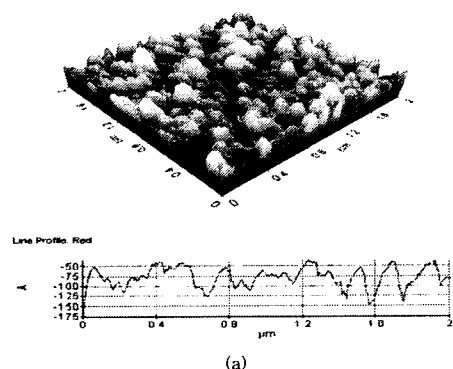
Table 3. Process condition of CMP equipment

Table speed	6 0 [rpm]
Head speed	6 0 [rpm]
Down Force	3 0 0 [g/cm]
Polishing time	9 0 [sec]
Slurry flow rate	9 0 [ml/min]

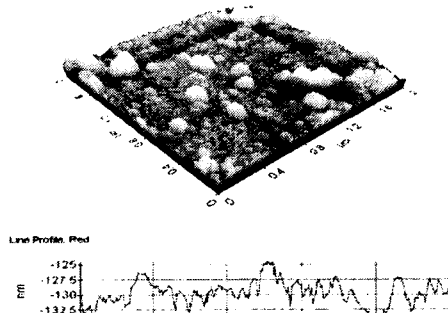
표 3는 CMP의 공정조건을 나타낸 것으로 테이블의 회전 속도는 60 rpm, 헤드 스피드는 60 rpm, 헤드 압력은 300 g/cm, 슬러리의 유속은 90ml/min으로 설정하여 90sec동안 연마를 진행하였다. 연마패드는 Rodel사의 IC-1300 과 Suba IV를 PSA II로 접착사킨 이중패드를 사용하였다.

CMP 공정 후 웨이퍼 세정은 2분동안 $\text{NH}_4\text{OH} : \text{H}_2\text{O}_2$: H_2O 를 1 : 2 : 7의 비율로 제도된 SC-1 캐미컬에서, 1분간 1 : 10의 DHF 용액에서, 마지막으로 초음파 세척기를 이용하여 5분 동안 클리닝하였다. 또한, 패드 컨디셔닝에 의한 영향을 막기 위해 컨디셔닝 압력을 2 kg/cm² 으로 고정하였고, 패드는 안정된 상태이어서 교체 없이 사용하였으며, 슬러리는 aging 현상을 방지하기 위하여 연마전에 교반기를 이용하여 충분히 교반시켜 주었다.

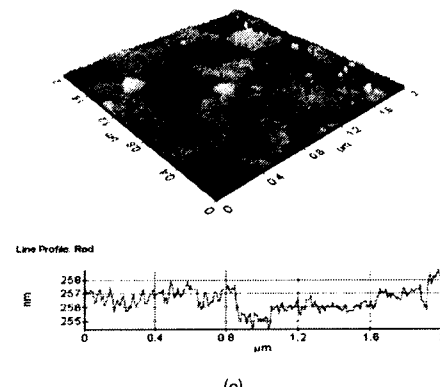
마지막으로 연마율을 계산할 때 측정에 따른 변수를 막기위해 Ellipsometers를 이용하여 측정위치를 중앙에서 가장자리까지 9점의 동일한 지점들을 측정하였다.



(a)



(b)



(c)

그림 2. AFM 사진과 표면거칠기

(a) CMP전 (b) 0.33wt% (c) 0.2wt%

Fig 2. AFM imag and suface roughness

(a) pre-CMP (b) 0.33wt% (c) 0.2wt%

그림 2는 WO_3 박막을 CMP후 AFM에 의해서 가로 2 μm 세로 2 μm 을 스캐닝 하였을 때 사진이다. (a)는 WO_3 박막의 AFM 형상으로 표면의 거칠기를 볼수 있다. 평균 거칠기는 37A이다. (b)는 산화제를 0.33wt% 첨가하여 CMP를 하였을 때 표면이 거칠기로 34A이다. (c)는 산화제를 0.2wt%를 첨가하여 CMP를 형상으로 7A의 표면거칠기를 나타내었다. WO_3 박막의 CMP특성을 알아보기 위해 CMP를 하였을때 0.2wt%의 산화제를 첨가하였을 때 가장 AFM사진과 표면거칠기가 향상되었음을 알수 있다..

2. 2 실험결과 및 고찰

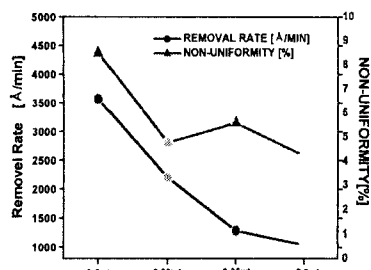


그림 3. 슬러리 조성에 따른 연마율과 비균일도 비교

Fig 3. Removal rate and non-uniformity comparative of each slurry

그림 3은 WO_3 박막에 산화제 첨가에 따른 연마 제거율과 비균일도를 나타낸 것으로, 텅스텐 슬러리와 산화제를 각각 0.5wt%, 0.33wt%, 0.25wt%, 0.2wt%를 첨가하여 연마 제거율과 비균일도를 나타낸 그림이다. 연마 제거율은 0.5wt%가 가장 높게 나타났으나 비균일도는 가장 나쁜 것으로 나타났다. 0.5wt%는 가장 낮은 연마율과 가장 좋은 비균일도 특성을 보였다. 산화제를 첨가 할수록 연마 제거율은 낮아지는 반면 비균일도는 향상되는 것을 알 수 있다. 그 이유는 산화제가 첨가될수록 연마율은 떨어지고 비균일도는 향상된다.

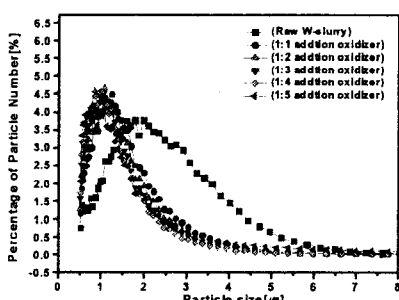


그림 4. 산화제 첨가량에 따른 연마의 입자크기

Fig 4. particle size regarding the additional volume of oxidizer

그림 4는 텅스텐 슬러리 첨가에 따른 입도분석을 나타낸 그림이다. 산화제를 첨가하지 않은 W-slurry의 평균 particle size는 $2.01\mu\text{m}$ 이었으며 산화제가 각각 0.5wt%, 0.33wt%, 0.25wt%, 0.2wt%의 배율로 첨가된 W-slurry의 평균 particle size는 $1.40\mu\text{m}$, $1.29\mu\text{m}$, $1.26\mu\text{m}$, $1.21\mu\text{m}$, $1.35\mu\text{m}$ 이었다. 산화제 첨가량이 증가할수록 그림 3에서와 같이 연마입자의 크기는 감소하였다. 산화제가 0.25wt%의 첨가 비율까지는 $1.21\mu\text{m}$ 로 연마입자가 계속 감소하는 현상을 보이다가 0.2wt%의 첨가 비율에서는 다시 연마입자의 크기가 다소 $1.35\mu\text{m}$ 로 증가를 하였는데

이는 산화제의 과잉첨가가 연마입자의 뭉침 현상(aggregation)[6]을 발생시키기 때문으로 생각된다. 그러나 첨가량이 더 증가하면서부터 산화와 환원의 계속적인 반응에 의하여 연마입자의 크기가 거의 일정함을 나타내졌다.

3. 결 론

본 논문에서는 WO_3 박막을 센서로 활용하기 위한 물성을 연구하기 위해 산화제 첨가에 따른 CMP특성을 실험하였다. 산화제를 첨가하여 WO_3 CMP를 하였을 때 산화제를 첨가 할수록 연마율은 낮아졌으며 비균일도는 산화제를 첨가 할수록 향상됨을 보였다. 산화제 첨가에 따른 WO_3 박막의 CMP 특성은 W-Slurry에 산화제를 0.33wt% 첨가하였을 때 가장 좋은 특성을 나타내었다. 그림 3의 AFM사진과 같이 W-Slurry에 산화제를 0.2wt%를 첨가하였을 때 평탄화 공정이 가장 잘 이루어 졌음을 알 수 있다.

[참 고 문 헌]

- [1] 김한수, 한상도, 김선태, "WO₃ 후막형 센서의 H₂S 감응특성" 대한환경공학회 2001 춘계연학술연구 발표회, 논문집 제 2권, pp 11 12, 2001
- [2] Woo Sun Lee, Sang Youg Kim, Youg Jin Seo, Jong Kook Lee, "An Optimization of Tungsten Plug Chemical Mechanical Polishing (CMP) using Different Consumables, Journal of Materials Science : Materials in Electronics, Kluwer Academic Publishers, Vol. 12, No. 1, pp. 63 68, 2001
- [3] Youg Jin Seo, Sang Youg Kim, Woo Sun Lee, "Optimization of Pre Metal Dielectric (PMD) Materials", Journal of Materials Science : Materials in Electronics, Kluwer Academic Publishers, Vol. 12, No. 9, pp. 551 554, 2001.
- [4] 노효섭, 배인수, 정훈택, 이우선, 홍광준, 이현규, 박진성, "NiO 첨가에 따른 WO₃ 의 물성" Korean Journal of Materials Research Vol. 11, No. 4, 2001
- [5] Youg Jin Seo, Woo Sun Lee, Sang Youg Kim, Ji Sung Park, Eui Goo Chang, "Optimization of Post CMP Cleaning Process for Elimination of CMP Slurry Induced Metallic Contaminations", Journal of Materials Science : Materials in Electronics, Kluwer Academic Publisher, Vol. 12, No. 7, pp. 441 445, 2001.
- [6] Kevin Cooper, Anand Gupta, and Stephen Beaudoin, "THEORETICAL ANALYSIS OF THE ADHESION OF ASYMMETRICAL ALUMINA PARTICLES TO THIN FLIMS ", Process of Electrochemical society, Vol. 37, No. 1, pp. 391 395, 1999